



## پژوهی کشاورزی

دوره ۱۷ ■ شماره ۱ ■ بهار ۱۳۹۴

صفحه‌های ۲۱۷-۲۲۸

# کمی‌سازی و تعیین پارامترها و دامنه‌های پاسخ به دمای بذر و گیاهچه گیاه آزی‌وش (*Corchorus olitorius L.*) با استفاده از مدل‌های رگرسیون غیرخطی

بهنام کامکار<sup>\*</sup>, ام البنین گرزین<sup>۱</sup>, نفیسه خلیلی<sup>۲</sup> و محمدحسین قربانی<sup>۴</sup>

۱. دانشیار گروه زراعت دانشکده تولید گیاهی، دانشگاه علوم کشاورزی و منابع طبیعی گرگان، گرگان، ایران
۲. دانشجوی کارشناسی ارشد رشته مهندسی کشاورزی اکولوژیک، دانشکده کشاورزی و منابع طبیعی شاهروود، شاهروود، ایران
۳. دانشآموخته کارشناسی ارشد، گروه زراعت، دانشکده تولید گیاهی، دانشگاه علوم کشاورزی و منابع طبیعی گرگان، گرگان، ایران
۴. مریم گروه زراعت، دانشگاه علوم کشاورزی و منابع طبیعی گرگان، گرگان، ایران

تاریخ پذیرش مقاله: ۱۳۹۳/۰۹/۰۳

تاریخ وصول مقاله: ۱۳۹۲/۰۱/۱۸

## چکیده

آزی‌وش (*Corchorus olitorius L.*) یک گیاه دارویی بالارزش به شماره رود که اولین بار در ایران در سال ۱۳۹۲ کشت و تولید شد. در این مطالعه، واکنش جوانه‌زنی این گیاه نسبت به دما (۱۰، ۱۵، ۲۰، ۲۵، ۳۰، ۳۵، ۴۰، ۴۵ و ۵۰ درجه سانتی‌گراد) در آزمایشگاه بذر دانشگاه علوم کشاورزی و منابع طبیعی گرگان در سال ۱۳۹۰ بررسی شد. اثر دما بر حداکثر درصد جوانه‌زنی (MGP)، سرعت جوانه‌زنی (R<sub>50</sub>)، یکنواختی جوانه‌زنی (GU)، زمان تا رسیدن به ۱۰ (D<sub>10</sub>، ۵۰ (D<sub>50</sub>) و ۹۰ (D<sub>90</sub>) درصد حداکثر جوانه‌زنی، درصد گیاهچه نرمال (%) و طول گیاهچه (LS) در سطح ۱ درصد معنادار بود. همچنین واکنش جوانه‌زنی به دما تا رسیدن به ۱۰، ۵۰ و ۹۰ درصد حداکثر جوانه‌زنی با استفاده از سه مدل رگرسیون غیرخطی (مدلهای دوتکه‌ای، دندان‌مانند و بتا) ارزیابی شد و مدل بتا، مدل برتر تعیین شد. دماهای کاردینال در ۵۰ درصد حداکثر جوانه‌زنی شامل دمای پایه ۱۰/۱۸ درجه سانتی‌گراد، دمای بهینه ۳۷/۳۱ درجه سانتی‌گراد، دمای سقف ۵۰ درجه سانتی‌گراد و زمان بیولوژیک ۱۳/۵۶ ساعت بود. نتایج مدل بتا در برآش طول گیاهچه و درصد گیاهچه نرمال نشان داد ظهور گیاهچه در دامنه دمایی ۱۱ تا ۴۴ درجه سانتی‌گراد، بیشترین طول گیاهچه در دمای ۳۵/۳۴ درجه سانتی‌گراد و بیشترین درصد گیاهچه‌های نرمال در دمای ۳۱ درجه سانتی‌گراد اتفاق افتاده است.

کلیدواژه‌ها: آزی‌وش، دماهای کاردینال، زمان بیولوژیک، گیاهچه نرمال، مدل بتا.

دماهای کاردینال گویند [۹]. در این گستره، دماهای کمینه، بهینه و بیشینه قرار دارند که برای ارائه مدل‌های پیش‌بینی جوانه‌زنی بذر لازم‌اند [۲۶]. سرعت جوانه‌زنی با افزایش دما تا دمای مطلوب جوانه‌زنی افزایش و بعد از آن کاهش می‌یابد یا ثابت است و سپس کاهش می‌یابد [۲۰] به‌طور کلی، در گیاهان، سرعت نمو در دمای پایه صفر است و با افزایش دما تا دمای بهینه افزایش می‌یابد؛ ولی در دماهای بالاتر از آن افت شدیدی نشان می‌دهد [۲۶].

تابع دمایی مختلفی برای توصیف واکنش جوانه‌زنی به دما وجود دارد که از میان آنها سه تابع دوتکه‌ای، بتا و دندان‌مانند برای بررسی واکنش جوانه‌زنی بذرها به دما بیشتر از بقیه به کار گرفته شده‌اند [۲، ۳۰]. انتخاب مدل مناسب برای کمی‌سازی واکنش سرعت جوانه‌زنی نسبت به دما، در تعیین دقیق دماهای کاردینال بسیار مهم است. محققان در مطالعات خود با ارزیابی مدل‌های رگرسیون غیرخطی، مدل‌های مختلف را در کمی‌سازی واکنش سرعت جوانه‌زنی انتخاب و از آنها در تعیین دماهای کاردینال استفاده کردند. از جمله می‌توان در گیاه خشخاش مدل دوتکه‌ای [۱۹]، در گاوزبان، کدو تخم‌کاغذی، سیاه‌دانه و سه رقم رازیانه مدل دندان‌مانند [۲، ۳] و در سه رقم ماریتیغال، جو و گندم مدل بتا را نام برد [۱۵، ۴، ۵].

از آنجا که اطلاعات زیادی درباره جوانه‌زنی، دماهای کاردینال و دیگر پارامترهای جوانه‌زنی گیاه دارویی آزی‌وش وجود ندارد، هدف پژوهش حاضر، تعیین پارامترها و دامنه‌های پاسخ به دمای بذر و گیاهچه آزی‌وش با استفاده از مدل‌های رگرسیون غیرخطی است.

## ۲. مواد و روش‌ها

این آزمایش در قالب طرح کاملاً تصادفی در آزمایشگاه تحقیقات بذر دانشگاه علوم کشاورزی و منابع طبیعی گرگان در سال ۱۳۹۰ انجام گرفت. تیمارهای آزمایشی

### ۱. مقدمه

آزی‌وش<sup>۱</sup> متعلق به خانواده Tiliacea است و در کشورهای مختلف با نام‌های متفاوتی شناخته می‌شود [۷]. اسم اولیه آن در مصر الملوکیه بود (گیاهی که فقط خانواده‌های پادشاهی و حاکمان قدیم در مصر حق استفاده از آن را داشتند) که بعدها (زمانی که سایر مردم توانستند آن را کشت و مصرف کنند) به الملوخیه تغییر یافت و امروزه در بسیاری از کشورهای عربی به همین نام شناخته می‌شود. این گیاه در بخش‌های وسیعی از دنیا به عنوان نوعی گیاه خوارکی مفید و نیز گیاهی دارویی، بالارزش و مهم شمرده می‌شود [۷]. به عنوان مثال، این گیاه دارای مقدار زیادی آهن و اسید فولیک است که در پیشگیری از کم خونی مفید است [۲۹، ۱۴] و دانه‌های آن خواص ضدبacterیایی دارند [۲۷]. در حال حاضر، آزی‌وش به‌طور گسترده در سراسر مناطق استوایی انتشار دارد و در بیشتر کشورهای آفریقا سبز می‌شود [۱۲]. این گیاه پس از سه سال تحقیق و اجرای دو طرح پژوهشی اولین بار در ایران در سال ۱۳۹۲ در سطح زراعی در مزرعه دانشگاه علوم کشاورزی و منابع طبیعی گرگان تولید شد [۷].

بذر عامل تکثیر و بروز ویژگی‌های زراعی یک ژنتیپ و مهم‌ترین نهاده تولید محصولات زراعی و دستیابی به پتانسیل واقعی عملکرد است [۲۲]. جوانه‌زنی فرایند فیزیولوژیک پیچیده‌ای است که تحت تأثیر عوامل ژنتیکی و محیطی قرار می‌گیرد [۱۱، ۲۱]. شرایط محیطی به‌طور مستقیم تعیین‌کننده جوانه‌زنی مطلوب بذر و در گام بعد سبز شدن است [۱۳]. دما نیروی محرك مهمی است که در سرعت نمو محصول تأثیر بسزایی دارد [۱۸]. تأثیرات دما بر رشد و نمو گیاه مبنای مدل‌هایی است که برای پیش‌بینی زمان‌بندی جوانه‌زنی استفاده می‌شود [۱۰]. جوانه‌زنی بذر هر گیاه در گستره دمایی خاصی صورت می‌گیرد که به آن

1. *Corchorus olitorius* L.

## بزرگی کشاورزی

کمی‌سازی و تعیین پارامترها و دامنهای پاسخ به دمای بذر و گیاهچه گیاه آزیوش (*Corchorus olitorius L.*) با استفاده از ...

۵۰ درصد ( $D_{50}$ ) جوانه‌زنی از طریق درون‌یابی برآورد شد.  
همچنین سرعت جوانه‌زنی (در ساعت) با استفاده از فرمول  
۱ محاسبه شد [۳۰]:

$$R_{50} = 1/D_{50} \quad (1)$$

در این رابطه،  $R_{50}$  سرعت جوانه‌زنی را نشان می‌دهد و  
زمان لازم برای رسیدن تا ۵۰ درصد حداکثر جوانه‌زنی است.  
برای تعیین داماهای کاردینال و زمان بیولوژیک  
جوانه‌زنی نیز از رابطه زیر استفاده شد [۳۰]:

$$1/e = f(T)/F_o \quad (2)$$

در این رابطه،  $1/e$  سرعت جوانه‌زنی؛ و  $F_o$  زمان بیولوژیک  
مورد نیاز برای جوانه‌زنی است. زمان بیولوژیک جوانه‌زنی  
عبارت است از زمان لازم برای جوانه‌زنی در شرایط دمای  
مطلوب و  $f(T)$  تابع دما است که بین صفر (در دمای پایه)  
و یک (در دمای مطلوب) تغییر می‌کند و از روابط زیر  
به دست می‌آید:

۱. تابع بتا<sup>۱</sup> با علامت اختصاری (B) که معادله آن  
به صورت زیر است [۳۲]:

$$f(t) = \left[ \left( \frac{T - T_b}{T_o - T_b} \times \frac{(T_c - T)}{(T_c - T_b)} \right) \right]^{\left( \frac{(T_c - T_o)}{T_o - T_b} \right) a} \quad (3)$$

در این رابطه،  $T_b$  دمای پایه؛  $T_o$  دمای مطلوب؛  $T_c$  دمای  
صف؛  $a$  ضریب ثابت؛ و  $T$  دمای متوسط روزانه (دمای  
مورد آزمایش) هستند.

۲. تابع دندان‌مانند<sup>۲</sup> با علامت اختصاری (D) که معادله  
آن به صورت زیر است: [۲۸]:

$$(4)$$

$$T_b < T < T_o \Rightarrow f(t) = \frac{(T - T_b)}{(T_o - T_b)}$$

$$T_o < T < T_c \Rightarrow f(t) = \frac{(T_c - T)}{(T_c - T_o)}$$

$$T_o \leq T \leq T_c \Rightarrow f(t) = 1$$

$$T \leq T_b \text{ (OR) } T \geq T_c \Rightarrow f(t) = 0$$

1. Beta Original  
2. Dent-like

شامل دما در هفت سطح (۱۰، ۱۵، ۲۰، ۲۵، ۳۰، ۳۵، ۴۰) و ۵۰ درجه سانتی‌گراد بود که توسط انکوباتور، با دقیقه ۵ درجه سانتی‌گراد تأمین شد. بذور از محل کشت تحقیقاتی محدود در مزرعه دانشگاه علوم کشاورزی و منابع طبیعی گرگان تهیه شد. هر واحد آزمایشی شامل یک پترودیش به قطر ۱۰ سانتی‌متر بود که در آن ۵۰ عدد بذر آزیوش بر روی یک حolle کاغذی قرار داده شد و داخل انکوباتور در شرایط تاریکی قرار گرفت. بذور جوانه‌زنده بسته به دمای مورد استفاده، چند بار در روز شمرده شد و هر بار بذرهای جوانه‌زنده از محیط جوانه‌زنی خارج شدند. بدینهی است که در دماهای نزدیک‌تر به دمای بهینه، بازه زمانی شمارش، کوچک‌تر است. معیار جوانه‌زنی خروج ریشه‌چه به اندازه ۲ میلی‌متر یا بیشتر بود. خاتمه شمارش، زمانی در نظر گرفته شد که در طی ۴۸ ساعت متولی هیچ بذری جوانه نزند. در طول آزمایش و در صورت نیاز، به پترودیش‌ها آب مقطر اضافه شد. پترودیش‌ها در طول آزمایش داخل انکوباتور در محیط تاریک قرار داشتند و برای شمارش به مدت کمتر از یک دقیقه از دستگاه خارج می‌شدند. برای اندازه‌گیری تعداد گیاهچه‌های نرمال و طول گیاهچه‌ها نیز تیمارهای مشابه طراحی و اجرا شد و پس از هفت روز از شروع آزمایش، طول گیاهچه با استفاده از خط کش اندازه‌گیری و تعداد گیاهچه‌های نرمال شمارش شد. گیاهچه نرمال گیاهچه‌ای است که تمام اجزای یک گیاهچه را داشته باشد و از نظر شکل ظاهری نرمال باشد، به گونه‌ای که امکان رشد و بقا داشته باشد.

برای محاسبه درصد، سرعت و زمان جوانه‌زنی از نرمافزار GS-2011 استفاده شد [۱۷]. این نرمافزار تابع لجستیک را به داده‌های جوانه‌زنی در برابر دما برآش داده و از طریق درون‌یابی محاسبات لازم را انجام می‌دهد [۱۹]. در همه تیمارهای دمایی، برای هر تکرار منحنی پیشرفت جوانه‌زنی در مقابل زمان (ساعت) ترسیم و زمان لازم برای

## بزرگی کشاورزی

ضرایب  $a$  و  $b$  به ترتیب نشان‌دهنده میزان انحراف خط رگرسیون از مبدأ مختصات و میزان اریب خط رگرسیون از خط یک به یک است. مقدار عددی ضرایب  $a$  و  $b$  توسط نرم‌افزار SAS تعیین شد. معناداری ضریب  $a$  با استفاده از نرم‌افزار آماری SAS و معناداری ضریب  $b$  با تعیین حدود اطمینان بررسی شد. معناداری ضریب  $a$  به این معناست که عرض از مبدأ خط رگرسیون از عرض از مبدأ خط یک به یک اریبی دارد. معناداری ضریب  $b$  به این معناست که شیب خط رگرسیون از شیب خط یک به یک <sup>۳</sup> فاصله دارد و خط رگرسیون نسبت به خط یک به یک دارای اریب است [۸]. پراکنش کمتر نقاط در اطراف خط یک به یک، نشانه کارایی بیشتر مدل است و این امر بدین معناست که پراکنش کمتر نقاط در اطراف خط یک به یک نشان‌دهنده این است که نقاط پیش‌بینی شده توسط مدل‌ها مطابقت بیشتری با نقاط مشاهده شده دارند و در واقع خط رگرسیون به خط یک به یک نزدیک‌تر است (شیب خط به یک نزدیک‌تر است). با توجه به این معیارها مدل برتر، به‌منظور توصیف سرعت جوانه‌زنی گیاه آزیوش نسبت به دما، در تعیین دمای‌های کاردینال جوانه‌زنی استفاده شد.

### ۳. نتایج و بحث

نتایج تجزیه واریانس حداکثر درصد جوانه‌زنی (<sup>۴</sup>MGP)، سرعت در ۵۰ درصد حداکثر جوانه‌زنی ( $R_{50}$ )، یکنواختی جوانه‌زنی ( $GU$ <sup>۵</sup>)، زمان رسیدن به ۱۰ ( $D_{10}$ )، ۵۰ ( $D_{50}$ ) و ۹۰ ( $D_{90}$ ) درصد جوانه‌زنی، درصد گیاهچه نرمال (NS) درصد) و طول گیاهچه ( $LS$ <sup>۶</sup>) نشان داد که تأثیر دما بر پارامترهای ذکر شده در سطح ۱ درصد معنادار بود (جدول‌های ۱ و ۲).

3. 1:1 line

4. Maximum Germination Percentage

5. Germination Uniformity

6. Length of seedling

در این رابطه،  $T_b$  دمای پایه؛  $T_{o1}$  دمای مطلوب تحتانی؛  $T_{o2}$  دمای مطلوب فوقانی؛  $T_c$  دمای سقف؛ و  $T$  دمای متوسط روزانه (دمای مورد آزمایش) هستند.

۳. تابع دو تکه‌ای<sup>۱</sup> با علامت اختصاری (S) که معادله آن به صورت زیر است [۳۱]:

(۵)

$$T_b < T < T_o \Rightarrow f(t) = \frac{(T - T_b)}{(T_o - T_b)}$$

$$T_o < T < T_c \Rightarrow f(t) = 1 - \frac{(T - T_o)}{(T_c - T_o)}$$

$$T \leq T_b \text{ (OR)} T \geq T_c \Rightarrow f(t) = .$$

در این رابطه،  $T_b$  دمای پایه؛  $T_o$  دمای مطلوب؛  $T_c$  دمای سقف؛ و  $T$  دمای متوسط روزانه (دمای مورد آزمایش) هستند.

تخمین پارامترهای هر مدل با روش مطلوب‌سازی تکراری به‌کمک رویه برخط<sup>۲</sup> در نرم‌افزار آماری SAS صورت گرفت. در روش مطلوب‌سازی تکراری با هر بار وارد کردن مقادیر اولیه پارامترها، مقادیر نهایی آن با روش کمترین توان‌های دوم تخمین زده می‌شود. تغییر مقادیر اولیه تا زمانی انجام می‌گیرد که بهترین برآورد از پارامترها به دست آید. بهترین برآورد پارامترهای مدل براساس خطای معیار (SE) کمتر پارامترها و جذر میانگین مربعات انحراف (RMSE) کمتر رگرسیون مشخص می‌شود [۲]. برای انتخاب مدل برتر از میان مدل‌های مورد استفاده، از جذر میانگین مربعات انحرافات (RMSE)، ضریب تبیین ( $R^2$ )، ضریب همبستگی (r)، ضرایب رگرسیون ساده خطی (a) و (b) در رابطه زمان (ساعت) تا جوانه‌زنی مشاهده شده و پیش‌بینی شده استفاده شد. هر چه ضریب تبیین ( $R^2$ ) مدل استفاده شده بیشتر باشد نشان‌دهنده این است که مدل درصد تغییرات سرعت جوانه‌زنی را بیشتر توجیه می‌کند.

1. Segmented

2. Procnlin

## بزرگی کشاورزی

کمی‌سازی و تعیین پارامترها و دامنهای پاسخ به دمای بذر و گیاهچه گیاه آزیوش (*Corchorus olitorius L.*) با استفاده از ...

جدول ۱. نتایج تجزیه واریانس حداکثر درصد جوانهزنی (MGP)، سرعت در ۵۰ درصد حداکثر جوانهزنی ( $R_{50}$ )، درصد گیاهچه نرمال (%) و طول گیاهچه (LS) در گیاه آزیوش تحت تأثیر دماهای مختلف

LS	NS	$R_{50}$	MGP	DF	منابع تغییرات
۳۶/۱۲**	۴۴۶۰/۷۳**	۰/۰۰۲۷**	۴۸۴۳/۰۰**	۸	دما
۰/۰۴	۱۹/۸۳	۰/۰۰۰۰۱	۱۰/۸۱	۱۸	خطا
۴/۰۸	۷/۲۷	۱۰/۳۸	۴/۶۸	-	CV

\*\*: معنادار در سطح احتمال ۱ درصد.

جدول ۲. نتایج تجزیه واریانس زمان رسیدن به ۱۰ (D<sub>10</sub>), ۵۰ (D<sub>50</sub>) و ۹۰ (D<sub>90</sub>) درصد جوانهزنی و یکنواختی جوانهزنی (GU) در گیاه آزیوش تحت تأثیر دماهای مختلف

GU	D <sub>90</sub>	D <sub>50</sub>	D <sub>10</sub>	DF	منابع تغییرات
۱۰۴۶/۴۵**	۳۷۸۸/۴۱**	۱۹۳۸/۹۰**	۹۳۳/۳۱**	۶	دما
۲۵/۸۷	۲۴/۰۳	۱/۷۸	۱/۱۷	۱۴	خطا
۲۱/۶۱	۱۱/۷۶	۴/۶۰	۵/۹۸	-	CV

\*\*: معنادار در سطح احتمال ۱ درصد.

تبیین ۹۹ درصد و بیشتر از دو مدل دیگر و جذر میانگین مربیعات اشتباه و ضریب تغییرات به ترتیب ۲/۹۷ و ۱۰/۱۷ و کمتر از دو مدل دیگر است. با توجه به نتایج به دست آمده، مدل بتا، مدل برتر در کمی‌سازی واکنش سرعت جوانهزنی گیاه آزیوش تعیین شد (جدول ۳ و شکل ۱).

با انتخاب مدل بتا به عنوان مدل برتر در آزیوش دماهای پایه، بهینه و سقف در ۵۰ درصد جوانهزنی به ترتیب ۱۰/۱۸، ۳۷/۳۱ و ۵۰ درجه سانتی گراد برآورد شد (جدول ۴ و شکل ۲). محققان در مطالعات خود درباره جوانهزنی دو رقم گیاه آزیوش در محدوده دمایی ۱۰ تا ۲۰ درجه سانتی گراد همراه با تنش شوری صفر تا ۴۵ درجه سانتی گراد همراه با اعمال تیمار پیش جوانهزنی دمای ۳۰ درجه میلی مولار و با اعمال تیمار پیش جوانهزنی دمای ۳۰ درجه سانتی گراد را بهترین دما برای بیشترین درصد جوانهزنی معرفی کردند [۲۳]. همچنین در بررسی جوانهزنی آزیوش

با افزایش دما تا دمای مطلوب، درصد و سرعت جوانهزنی افزایش و بعد از آن کاهش یافت. دلیل کاهش درصد و سرعت جوانهزنی در دماهای نامطلوب را می‌توان کاهش یا ممانعت از فعالیت آنزیم‌ها و درنتیجه کاهش سرعت فرایندهای بیوستزی لازم برای جوانهزنی در این دماها دانست [۱۶].

برآورد پارامترهای مدل‌های بتا، دندان‌مانند و دوتکه‌ای برای کمی‌سازی واکنش سرعت جوانهزنی به دما نشان داد که در ۵۰ درصد حداکثر جوانهزنی ضریب a (میزان انحراف خط رگرسیون از مبدأ مختصات) در دو مدل دوتکه‌ای و دندان‌مانند در سطح ۵ درصد و ضریب b (میزان اریب خط رگرسیون از خط یک به یک) در سطح ۱ درصد معنادار بود، اما در مدل بتا این ضرایب غیرمعنادار بوده و نسبت به دو مدل دیگر ضریب a به صفر و ضریب b به یک نزدیک‌تر است. همچنین، در مدل بتا، ضریب

## بزرگی کشاورزی

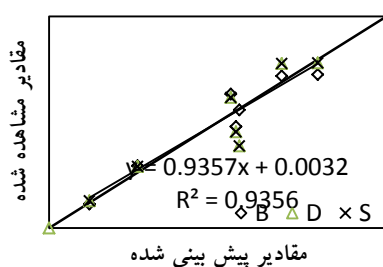
دماهای کاردینال این گیاه تعیین شد (مرحله افزایش خطی درصد جوانهزنی تجمعی در منحنی سیگموئیدی پیشرفت درصد تجمعی جوانهزنی در برابر زمان) و از دماهای به دست آمده در ۱۰ و ۹۰ درصد جوانهزنی به عنوان دماهای کاردینال در شروع و پایان جوانهزنی (مرحله افزایش خطی درصد جوانهزنی تجمعی در ابتدا و انتهای منحنی سیگموئیدی پیشرفت درصد تجمعی جوانهزنی در برابر زمان) می‌توان استفاده کرد.

در دماهای ۲۵ و ۳۵ درجه سانتی گراد با اعمال تیمارهای سرمایشی پیش جوانهزنی بر روی بذرها، درصد جوانهزنی در دماه ۳۵ درجه بیشتر بود [۲۵]. با توجه به استفاده از تیمارهای پیش رویشی در مطالعات ذکر شده، به نظر می‌رسد نتایج این مطالعه مغایرتی با نتایج ذکر شده ندارد. اختلاف بین دماهای کاردینال برآورده شده در ۱۰، ۵۰ و ۹۰ درصد جوانهزنی در دماهای بهینه و سقف غیر معنادار، اما در دماهی پایه در سطح ۵ درصد معنادار بود (شکل ۳)، بنابراین دماهای کاردینال برآورده شده در ۵ درصد جوانهزنی،

جدول ۳. جذر میانگین مربعات اشتباہ (RMSE)، ضریب تغییرات ( $R^2$ )، ضریب تبیین (CV)، ضرایب رگرسیون a و b برای مدل‌های مختلف رگرسیون غیرخطی در آزیوش

b ± SE	a ± SE	R <sup>2</sup>	CV	RMSE	۱۰ درصد
۰/۹۶ ± ۰/۰۱	۰/۴۶ ± ۰/۴۰	۰/۹۹	۵/۵۴	۱/۱۰	مدل بتا
۱/۱۶ ± ۰/۰۲**	-۱/۴۰ ± ۰/۶۹**	۰/۹۹	۸/۵۰	۱/۸۷	
۱/۰۶ ± ۰/۰۱**	-۰/۸۲ ± ۰/۴۲**	۰/۹۹	۵/۶۰	۱/۱۵	
۵۰ درصد					
۱/۰۵ ± ۰/۰۲	-۱/۳۴ ± ۱/۰۲	۰/۹۹	۱۰/۱۷	۲/۹۷	مدل بتا
۰/۸۸ ± ۰/۰۳**	۳/۰۳ ± ۱/۳۲*	۰/۹۷	۱۳/۲۹	۳/۸۳	دو تکه‌ای
۰/۸۸ ± ۰/۰۳**	۳/۰۳ ± ۱/۳۲*	۰/۹۷	۱۳/۲۹	۳/۸۳	دندان‌مانند
۹۰ درصد					
۰/۷۹ ± ۰/۰۲**	۵/۱۰ ± ۱/۴۲**	۰/۹۸	۱۰/۶۳	۴/۰۶	مدل بتا
۰/۸۱ ± ۰/۰۴**	۸/۰۶ ± ۲/۵۶**	۰/۹۴	۱۷/۴۶	۷/۳۲	دو تکه‌ای
۰/۸۳ ± ۰/۰۳**	۵/۸۵ ± ۱/۹۲**	۰/۹۶	۱۳/۴۷	۵/۴۸	دندان‌مانند

\* و \*\*: در a نشان‌دهنده اختلاف معنادار با صفر و در b نشان‌دهنده اختلاف معنادار با یک است.



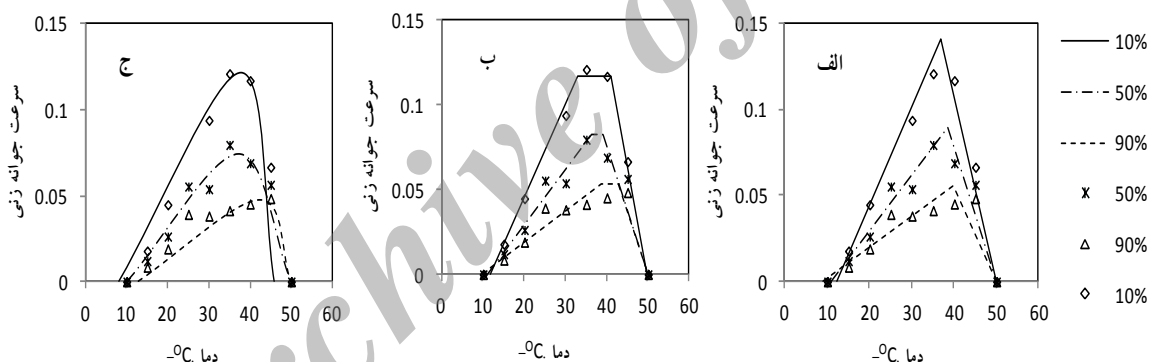
شکل ۱. مقادیر پیش‌بینی شده سرعت جوانهزنی ( $R_{50}$ ) با استفاده از تابع دوتکه‌ای (S)، دنдан‌مانند (D) و بتا (B) در برابر مقادیر مشاهده شده (ضریب تبیین مربوط به مدل بتا است).

## بزرگی کشاورزی

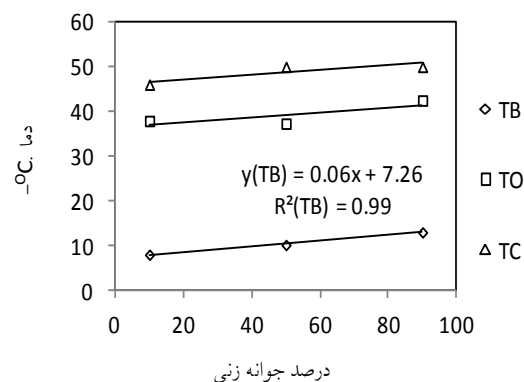
کمی‌سازی و تعیین پارامترها و دامنه‌های پاسخ به دمای بذر و گیاه‌چه گیاه آزیوش (*Corchorus olitorius L.*) با استفاده از ...

جدول ۴. برآورد ضریب ثابت  $a$ ، دمای پایه ( $T_b$ )، دمای مطلوب (T<sub>b</sub>)، دمای مطلوب تحتانی (T<sub>O</sub>)، دمای مطلوب فوقانی (T<sub>O2</sub>)، دمای سقف (T<sub>C</sub>) و زمان بیولوژیک جوانه‌زنی (F<sub>O</sub>) برای ۱۰، ۵۰ و ۹۰ درصد جوانه‌زنی با استفاده از مدل‌های رگرسیونی مختلف در آزیوش

F <sub>O</sub>	T <sub>C</sub>	T <sub>O</sub>	T <sub>b</sub>	a	مدل بتا
۸/۲۵ ± ۰/۲۰	۴۶/۰۳ ± ۰/۷۳	۳۷/۹۲ ± ۰/۸۵	۸/۰۰ ± ۰/۰۰	۱/۷۳ ± ۰/۲۰	۱۰
۱۳/۵۶ ± ۰/۰۶	۵۰/۰۰ ± ۰/۰۰	۳۷/۳۱ ± ۰/۷۷	۱۰/۱۸ ± ۴/۴۷	۱/۴۹ ± ۰/۶۱	۵۰
۲۱/۰۳ ± ۰/۹۰	۵۰/۰۰ ± ۰/۰۰	۴۲/۴۸ ± ۲/۷۱	۱۳/۰۰ ± ۰/۰۰	۰/۶۸ ± ۰/۱۳	۹۰
دوفکه‌ای					
۷/۱۱ ± ۰/۲۱	۵۰/۰۰ ± ۰/۰۰	۳۷/۰۰ ± ۰/۰۰	۱۲/۲۵ ± ۱/۰۳	-	۱۰
۱۱/۱۸ ± ۰/۰۶	۵۰/۰۰ ± ۰/۰۰	۳۸/۴۹ ± ۰/۷۷	۱۱/۰۵ ± ۱/۸۳	-	۵۰
۱۷/۶۱ ± ۱/۴۹	۵۰/۰۰ ± ۰/۰۰	۳۹/۷۸ ± ۱/۱۲	۱۰/۰۰ ± ۰/۰۰	-	۹۰
دندان‌مانند					
۸/۵۵ ± ۰/۱۶	۵۰/۰۰ ± ۰/۰۰	۴۱/۰۰ ± ۰/۰۰	۳۳/۰۰ ± ۰/۰۰	۱۱/۹۶ ± ۰/۷۰	۱۰
۱۲/۱۳ ± ۰/۰۰	۵۰/۰۰ ± ۰/۰۰	۳۹/۳۹ ± ۰/۷۳	۳۶/۳۵ ± ۱/۵۶	۱۱/۰۵ ± ۱/۸۳	۵۰
۱۸/۹۱ ± ۱/۳۳	۵۰/۰۰ ± ۰/۰۰	۴۲/۰۰ ± ۰/۰۰	۳۸/۷۳ ± ۰/۰۰	۱۰/۰۰ ± ۰/۰۰	۹۰



شکل ۲. رابطه سرعت جوانه‌زنی با دما (درجه سانتی‌گراد) با استفاده از مدل‌های دوفکه‌ای (الف)، دندان‌مانند (ب) و بتا (ج) در گیاه آزیوش



شکل ۳. دمای پایه (T<sub>b</sub>)، بهینه (T<sub>O</sub>) و سقف (T<sub>C</sub>) در ۱۰، ۵۰ و ۹۰ درصد جوانه‌زنی در گیاه آزیوش با استفاده از مدل بتا

## بزرگی کشاورزی

جذر میانگین مربعات انحراف و ضریب تغییرات در مدل بتا (به ترتیب  $0/0006$  و  $5/35$ ) کمتر از مدل دندان‌مانند است. اگرچه ضریب تبیین در مدل دندان‌مانند ( $81$  درصد) بیشتر از مدل بتا ( $78$  درصد) است، اما برآزش مدل بتا از درصد گیاهچه نرمال مناسب‌تر به نظر می‌رسد (جدول  $5$ ). شایان ذکر است با توجه به معنادار شدن ضریب  $a$  در مدل بتا این مدل نیز برآزش خیلی دقیقی از داده‌ها نمی‌دهد. پراکنش نقاط مربوط به درصد گیاهچه نرمال به گونه‌ای بود که امکان برآزش مناسب مدل دوتکه‌ای وجود نداشت، به همین دلیل این مدل برای داده‌های مربوط به درصد گیاهچه نرمال استفاده نشد. نتایج مدل بتا در برآزش طول گیاهچه نشان می‌دهد ظهور گیاهچه در دمای  $11$  درجه سانتی‌گراد شروع شد و تا دمای  $44$  درجه سانتی‌گراد ادامه یافت و در دمای  $35/34$  درجه سانتی‌گراد بیشترین طول گیاهچه دیده شد (جدول  $6$  و شکل  $4$ -ب).

نتایج حاصل از برآزش مدل‌های بتا، دندان‌مانند و دوتکه‌ای به داده‌های مربوط به طول گیاهچه نسبت به دما نشان می‌دهد که ضریب  $b$  در هر سه مدل غیرمعنادار است، اما ضریب  $a$  در مدل‌های دوتکه‌ای و دندان‌مانند به ترتیب در سطح  $1$  و  $5$  درصد معنادار است. همچنین ضرایب  $a$  و  $b$  در مدل بتا نسبت به مدل‌های دیگر به ترتیب به صفر و یک نزدیک‌تر، جذر میانگین مربعات انحراف و ضریب تغییرات این مدل کمتر (به ترتیب  $0/03$  و  $18/63$ ) از مدل‌های دیگر و ضریب تبیین آن بیشتر ( $78$  درصد) از مدل‌های دیگر است (جدول  $5$ ). از طرف دیگر، پراکنش نقاط در اطراف خط یک به یک در مدل بتا کمتر از دو مدل دیگر است. بنابراین می‌توان نتیجه گرفت مدل بتا برآزش دقیق‌تری از طول گیاهچه نسبت به دما ارائه می‌دهد (شکل  $4$ ). نتایج برآزش مدل‌های بتا و دندان‌مانند به داده‌های درصد گیاهچه نرمال در برابر دما نشان داد که در هر دو مدل ضریب  $a$  در سطح  $5$  درصد معنادار و ضریب  $b$  غیرمعنادار و مقدار عددی آن در مدل بتا به یک نزدیک‌تر است.

جدول  $5$ . جذر میانگین مربعات اشتباہ (RMSE)، ضریب تغییرات ( $R^2$ )، ضریب تبیین (CV) و ضرایب رگرسیون  $a$  و  $b$  برای مدل‌های مختلف رگرسیون غیرخطی در آزمیوش

متغیر	مدل	RMSE	CV	$R^2$	$a \pm SE$	$b \pm SE$
	بتا	$0/03$	$18/63$	$0/78$	$-0/01 \pm 0/02$	$1/14 \pm 0/15$
طول گیاهچه	دوتکه‌ای	$0/06$	$31/45$	$0/73$	$-0/14^{**} \pm 0/05$	$2/13 \pm 0/32$
	دندان‌مانند	$0/05$	$30/70$	$0/75$	$-0/13^* \pm 0/04$	$2/03 \pm 0/29$
درصد گیاهچه نرمال	بتا	$0/0006$	$5/35$	$0/78$	$-0/003^* \pm 0/001$	$0/73 \pm 0/09$
	دندان‌مانند	$0/001$	$9/00$	$0/81$	$-0/004^* \pm 0/002$	$1/39 \pm 0/16$

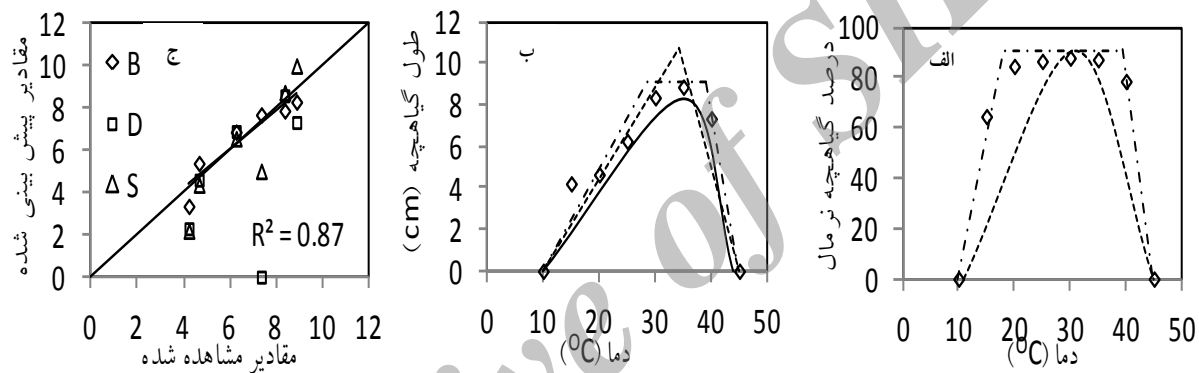
\* و \*\*: در  $a$  نشان‌دهنده اختلاف معنادار با صفر و در  $b$  نشان‌دهنده اختلاف معنادار با یک است.

## بزرگی کشاورزی

کنی سازی و تعیین پارامترها و دامنهای پاسخ به دمای بذر و گیاهچه گیاه آزیوش (*Corchorus olitorius L.*) با استفاده از ...

جدول ۶. برآورد ضریب ثابت a (برای مدل بتا)، دمای پایه ( $T_b$ )، دمای مطلوب تحتانی ( $T_{O1}$ )، دمای مطلوب فوقانی ( $T_{O2}$ ) و دمای سقف ( $T_C$ ) برای طول گیاهچه و درصد گیاهچه نرمال با استفاده از مدل‌های رگرسیونی مختلف در آزیوش

$T_C$	$T_O$	$T_b$	a	مدل	متغیرها
$44/00 \pm 0/00$	$35/34 \pm 1/40$	$11/00 \pm 0/00$	$0/65 \pm 0/11$	بتا	طول گیاهچه
$45/00 \pm 0/00$	$34/36 \pm 0/66$	$10/00 \pm 0/00$	-		دوتکه‌ای
$45/00 \pm 0/00$	$31/00 \pm 0/00$	$11/00 \pm 0/00$	$0/27 \pm 0/02$		درصد گیاهچه نرمال
$T_C$	$T_{O2}$	$T_{O1}$	$T_b$	دندان‌مانند	طول گیاهچه
$45/00 \pm 0/32$	$39/13 \pm 0/44$	$28/68 \pm 1/24$	$10/00 \pm 0/00$		دندان‌مانند
$45/00 \pm 0/20$	$39/39 \pm 0/24$	$18/00 \pm 0/00$	$10/00 \pm 0/00$		درصد گیاهچه نرمال



شکل ۴. (الف) رابطه درصد گیاهچه نرمال با دما (درجة سانتی گراد) با استفاده از توابع دندان‌مانند (—) و بتا (—) در گیاه آزیوش، (ب) رابطه طول گیاهچه با دما (درجة سانتی گراد) با استفاده از توابع دوتکه‌ای (..., دندان‌مانند (—) و بتا (—) و ج) مقادیر پیش‌بینی شده طول گیاهچه با استفاده از توابع دوتکه‌ای ( $\Delta$ )، دندان‌مانند ( $\square$ ) و بتا ( $\diamond$ ) در برای مقادیر مشاهده شده (ضریب تبیین مربوط به مدل بتا است)

#### ۴. نتیجه‌گیری و پیشنهادها

نتایج نهایی این تحقیق نشان داد که گیاه آزیوش، محدوده پاسخ به دمای گستردگی دارد (از  $10/18$  تا  $50$  درجه سانتی گراد)، ولی با توجه به دمای پایه  $10/18$  درجه سانتی گرادی آن، در مورد تاریخ کاشت آن بهویژه در مناطق خنک‌تر باید دقت کافی به عمل آورد. تاریخ کشت مطلوب این گیاه از نیمه اردیبهشت تا نیمه خرداد تعیین شده است [۷]. همچنین دمای سقف بالای این گیاه نوید می‌دهد که در مناطقی که دمای پایه آن دیرتر تأمین می‌شود، نگرانی آسیب ناشی از برخورد آن با دماهای زیاد به شرط تأمین

همچنین نتایج مدل بتا در برآذش درصد گیاهچه نرمال نشان داد که در بازه دمایی  $11$  تا  $45$  درجه سانتی گراد گیاهچه‌های نرمال مشاهده شد و بیشترین درصد آن در دمای  $31$  درجه سانتی گراد رخ داد (جدول ۶ و شکل ۴ - ج). نبود گیاهچه در دماهای بیشتر از  $44$  درجه سانتی گراد احتمالاً به دلیل اختلال در فعالیت آنزیم‌ها و فرایندهای متابولیکی در اثر دماهای زیاد است. اختلاف یک درجه‌ای بین دمای سقف در برآذش طول گیاهچه نسبت به درصد گیاهچه نرمال را می‌توان به دلیل دقت کمتر مدل بتا در برآذش داده‌های مربوط به درصد گیاهچه نرمال دانست.

## به راعی کشاورزی

۳. حیدری ز (۱۳۹۲) تعیین دماهای کاردینال و زمان حرارتی لازم برای جوانه‌زنی بذور ماریتیغال با استفاده از مدل‌های رگرسیون غیرخطی. دانشگاه آزاد اسلامی واحد دامغان. پایان‌نامه کارشناسی ارشد.
۴. حیدری ز (۱۳۹۲) تعیین دماهای کاردینال و زمان حرارتی لازم برای جوانه‌زنی بذور رازیانه با استفاده از مدل‌های رگرسیون غیرخطی. دانشگاه آزاد اسلامی واحد دامغان. پایان‌نامه کارشناسی ارشد.
۵. خلیلی ن (۱۳۹۱) پیش‌بینی سبز شدن گیاه جو (*Hordeum vulgare L.*) در واکنش به دما، رطوبت و عمق کاشت. دانشگاه علوم کشاورزی و منابع طبیعی گرگان. پایان‌نامه کارشناسی ارشد.
۶. سلطانی ا (۱۳۹۰) اکولوژی بانک بذر کلزای خودرو و خردل وحشی: تولید بذر، توزیع عمودی، تغییرات فصلی کمون، جوانه‌زنی و سبز شدن. دانشگاه علوم کشاورزی و منابع طبیعی گرگان. رساله دکتری.
۷. قربانی م، زینلی ا و راهکان ر (۱۳۹۱) بررسی امکان کاشت گیاه آزی وشن (*Corchorus olitorius L.*) در شرایط آب و هوایی گرگان. دانشگاه علوم کشاورزی و منابع طبیعی گرگان. گزارش طرح پژوهشی.
۸. احمدی م، کامکار ب، سلطانی ا و زینلی ا (۱۳۸۸) ارزیابی مدل‌های رگرسیون غیرخطی برای پیش‌بینی سرعت به ساقرفتن گندم (رقم تجن) در پاسخ به دما و طول روز. مجله الکترونیک تولید گیاهان زراعی. ج ۲ شماره ۴: ۵۴-۳۹
9. Bewley JD (1997) Seed germination and dormancy. *Plant Cell*. 9: 1055-1066.
10. Bewley J and Black M (1994) Seeds Physiology of Development and Germination. New York.
11. Foley ME and Fennimore SA (1998) Genetic basis for seed dormancy. *Seed Science Research*. 8: 173-179.

آب وجود ندارد. نتایج تحقیق درباره تاریخ کاشت این گیاه در گرگان نشان داد که حتی کشت این گیاه تا اواسط تیر نیز نتایج مطلوبی به همراه دارد که به نحوی مؤید یافته‌های این تحقیق است [۷]. توجه به این نکته الزامی است که تصحیح این ضرایب با توجه به اختلاف دمای هوا و خاک ضرورت دارد، بدین منظور پیشنهاد می‌شود ارتباط دمای هوا و خاک برآورد شود و این ضرایب برای دمای خاک (و احتمالاً رطوبت خاک) تصحیح و همچنین این محدوده‌های دمایی برای دیگر مراحل فولولوژیک این گیاه مشخص شوند. در این تحقیق، مدل بتا، مدل برتر در کمی‌سازی واکنش جوانه‌زنی به دما و برازش طول گیاه‌چه و درصد گیاه‌چه نرمال معرفی شد. همچنین نتایج مدل بتا مؤید تفاوت پاسخ گیاه‌چه به دما در مقایسه با جوانه‌زنی آن بود. مدل‌های معرفی شده و ضرایب برآورده شده در مدلسازی واکنش جوانه‌زنی و سبز شدن گیاه بسیار ارزشمندند و امکان کمی‌سازی این مراحل را فراهم می‌آورند. از سوی دیگر، توصیه می‌شود برای تعیین دقیق‌تر دمای سقف بین ۴۵ و ۵۰ درجه سانتی گراد نیز دماهای با اختلاف کم آزمون شوند.

## منابع

۱. اشراقی‌نژاد م، کامکار ب و سلطانی ا (۱۳۸۹) برآورد دماهای کاردینال برای مدلسازی روز تا سبز شدن در ارزن دمروباها. اولین کنفرانس بین‌المللی مدلسازی گیاه، آب، خاک و هوا: ۱۱۲-۱۰۱.
۲. اکرم قادری ف (۱۳۸۷) مطالعه نمو کیفیت بذر، جوانه‌زنی، طول عمر و زوال بذر در برخی گیاهان دارویی: کدو تخم‌کاغذی (*Cucurbita pepo. convar.*) و گاو زبان (*Borago officinalis L.*). دانشگاه علوم کشاورزی و منابع طبیعی گرگان. رساله دکتری.

## بزرگی کشاورزی

12. Grubben G and Denton O (2004) Plant Resources of Tropical Africans, Volume 2: Vegetables. 667 p.
13. Harper J (1977) Population Biology of Plants. Academic Press New York. 222 p.
14. Innami S, Ishida H, Nakamura K, Kondo M, Tabata K, Koguchi T, Shimizu J and Furusho T (2005) Jew's mellow leaves *Corchorus olitorius* suppress elevation of postprandial blood glucose levels in rats and humans. International Journal for Vitamin and Nutrition Research. 75(1): 39-46.
15. Jame YW and Cutforth HW (2004) Simulating the effects of temperature and seeding depth on germination and emergence of spring wheat. Agriculture and Forest Meteorology. 124: 207-218.
16. Kamaha C and Magure Y (1992) Effect of temperature on germination of six winter wheat cultivars. Seed Science and Technology. 20: 181-185.
17. Kamkar B (2011) GS\_2011. A pocket software to calculate germination and emergence indices. GUASNR.
18. Kamkar B, Ahmadi M, Soltani A and Zeinali E (2008) Evaluating non-linear regression models to describe response of wheat emergence rate to temperature. Seed Science and Biotechnology. 2: 53-57.
19. Kamkar B, Jami Al-Ahmadi M, Mahdavi-Damghani A and Villalobos F (2012) Quantification of the cardinal temperatures and thermal time requirement of opium poppy *Papaver somniferum L.* seeds germinate using non-linear regression models. Industrial Crops and Products. 35: 192-198.
20. Kebreab E and Murdoch AJ (2000) The effect of water stress on the temperature range for germination of *Orobanches aegyptiaca* seeds. Seed Science Research. 10: 127-133.
21. Meyer SE and Pendleton RL (2000) Genetic regulation of seed dormancy in *Purshia tridentata* Rosaceae. Annals of Botany. 85: 521-529.
22. Mc Donald M and Copeland L (1997) Seed Production Principles and Practices. Chapman and Hall U.S.A. 79p.
23. Mguis K, Albouchi A and Ben Brahim N (2014) Germination responses of *Corchorus olitorius L.* to salinity and temperature. African Journal of Agricultural Resarch. 9: 65-73.
24. Mwale SS, Azam-Ali SN, Clark JA, Bradley RG and Chatha MR (1994) Effect of temperature on the germination of sunflower *Helianthus annus L.* Seed Science and Technology. 22: 565-571.
25. Nkomo M and Kambizi L (2008) Effects of pre-chilling and temperature on seed germination of *Corchorus olitorius L.* (Tiliaceae) (Jew's Mallow), a wild leafy vegetable. African Journal of Biotechnology. 8(6): 1078-1081.
26. Oyedele D, Asonugho C and Awotoye O (2006) Heavy metals in soil and accumulation by edible vegetables after phosphate fertilizer application. Agriculture Food Chemistry. 5: 1446-1453.
27. Palada M and Chang L (2003) Suggested Cultural Practices for Jute Mallow. Inter Coope Guide. 2: 1-4.
28. Piper EL, Boote KJ, Jones JW and Grimm SS (1996) Comparison of two phenology models for predicting flowering and maturity date of soybean. Crop Science. 36: 1606-1614.
29. Ramin A (1997) The influence of temperature on germination taree irani. Seed Science and Technology. 25: 419-426.
30. Soltani A, Robertson M, Torabi B, Yousefi-Daz M and Sarparast R (2006) Modeling seedling emergence in chickpea as influenced by

- temperature and sowing depth. Agriculture and Forest meteorology. 138: 156-167.
31. Tan DKY, Wearing AH, Rickert KG and Birch CJ (1997) A systems approach to developing model that predicts crop ontogeny and maturity in broccoli in south-east Queensland. In: Wollin AS, Rickert K.G (Eds.), Third Australia and New Zealand Systems Conference Proceedings Linking People, Nature, Business and Technology. The University of Queensland Gatton. Pp. 179-187.
32. Yin X, Kropff MJ, McLaren G and Visperas RM (1995) A nonlinear model for crop development as a function of temperature. Agriculture and Forest Meteorology. 77: 1-16.

Archive of SID

## بزرگی کشاورزی

دوره ۱۷ ■ شماره ۱ ■ بهار ۱۳۹۴

۲۲۸

[www.SID.ir](http://www.SID.ir)